

Des cages de lumière pour les atomes : la physique des pièges et des réseaux optiques

Cours 2. Réseaux optiques : principes de base

Jean Dalibard
Chaire Atomes et rayonnement
Année 2012-13



1.

Comment générer un réseau optique

Buts de ce cours

Potentiel dipolaire périodique créé par une onde lumineuse stationnaire
 $V(x) = V_0 \sin^2(kx)$ (cas 1D) ou sa version bi/tri dimensionnelle

- Comment exploiter l'invariance par translation discrète du potentiel ?

$$V(x+a) = V(x) \quad \text{Théorème de Bloch, bandes d'énergie}$$
$$a = \pi/k \quad \text{Résultats explicites pour le potentiel sinusoïdal}$$

- Branchement et débranchement du potentiel

diffraction de Bragg, « band mapping »

- Propagation de paquets d'ondes

vitesse de groupe, masse effective

Onde lumineuse stationnaire à une dimension

$$\mathcal{E}_0 \sin(kx - \omega t + \phi_1) \quad \mathcal{E}_0 \sin(kx + \omega t - \phi_2)$$

Champ résultant : $\mathcal{E}(x, t) = 2\mathcal{E}_0 \sin(kx - \Phi) \cos(\omega t - \varphi)$

$$\text{avec } \Phi = (\phi_2 - \phi_1)/2 \quad \varphi = (\phi_1 + \phi_2)/2$$

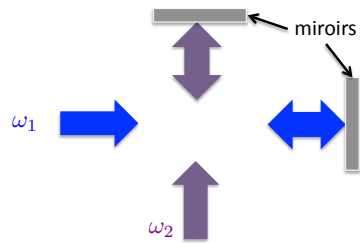
On définit l'origine de l'axe x pour avoir $\Phi = 0$

$$\text{Potentiel dipolaire : } V(x) = \frac{[2d_0\mathcal{E}_0 \sin(kx)]^2}{4\hbar\Delta} = V_0 \sin^2(kx)$$

$$d_0 : \text{élément de matrice du dipôle atomique} \quad \frac{1}{\Delta} = \frac{1}{\omega - \omega_0} - \frac{1}{\omega + \omega_0} \quad V_0 = \frac{d_0^2 \mathcal{E}_0^2}{\hbar\Delta}$$

Réseaux optiques à plusieurs dimensions

Une technique simple et robuste : une couleur par axe



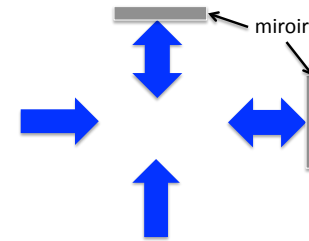
Si la différence des fréquences $|\omega_1 - \omega_2|$ est grande devant les fréquences caractéristiques du mouvement du centre de masse atomique, on peut ignorer tout phénomène d'interférence entre les différentes paires de faisceaux

$$V(x, y) = V_1 \sin^2(kx) + V_2 \sin^2(ky)$$

En pratique, une différence de quelques dizaines de MHz suffit

Réseaux optiques à plusieurs dimensions (suite)

Une technique plus sophistiquée (et plus riche) : deux ou trois ondes stationnaires à la même fréquence et verrouillées en phase entre elles



$$\mathcal{E}(\vec{r}, t) = \mathcal{E}_1 \sin(kx) \cos(\omega t - \varphi_1) + \mathcal{E}_2 \sin(ky) \cos(\omega t - \varphi_2)$$

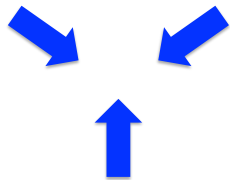
Le paysage de potentiel $\propto |\overline{\mathcal{E}(\vec{r}, t)}|^2$ dépend de la phase relative $\varphi_1 - \varphi_2$

techniquement non trivial...

Hänsch, Hemmerich, Esslinger...

Réseaux optiques à plusieurs dimensions (fin)

Configuration à nombre minimal de faisceaux (Grynberg *et al.*, 1993)



- trois faisceaux non colinéaires à deux dimensions
- quatre faisceaux non coplanaires à trois dimensions

Le changement de phase d'un des faisceaux par rapport à l'autre ne change pas le profil d'interférence, mais cause simplement une translation globale de $V(\vec{r})$

L'échelle d'énergie naturelle : l'énergie de recul



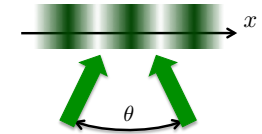
$$V(x) = V_0 \sin^2(kx)$$

période spatiale : $a = \pi/k$

$$\text{échelle d'énergie : } E_r = \frac{\hbar^2 k^2}{2m}$$

^7Li @ 671 nm : 60 kHz = 3 μK

^{87}Rb @ 780 nm : 4 kHz = 0.2 μK



Le nombre d'onde k le long de l'axe x est ajustable : $k = k_L \sin(\theta/2)$

augmentation de l'échelle de longueur, diminution de l'échelle d'énergie

2.

Le théorème de Bloch

En résumé :

- On va chercher les états propres de l'hamiltonien périodique (de période $a = \pi/k$)

$$\hat{H} = \frac{\hat{p}^2}{2m} + V_0 \sin^2(k\hat{x})$$

sous la forme d'ondes de Bloch $\psi_{n,q}(x) = e^{iqx} u_{n,q}(x)$ où la fonction $u_{n,q}(x)$ est également périodique, de période $a = \pi/k$

- Deux quasi-moments q et q' qui diffèrent de $2k$ correspondent au même état propre

On peut donc restreindre notre recherche en prenant le quasi-moment q dans la première zone de Brillouin : $-k < q \leq k$

- Pour chaque valeur de q , on trouve un ensemble d'énergies $E_n(q)$, $n = 0, 1, \dots$

$n^{\text{ième}}$ bande d'énergie : intervalle parcouru par $E_n(q)$ quand q varie entre $-k$ et k

Le rôle des symétries : la parité du potentiel

Potentiel symétrique par rapport à l'origine : $V(x) = V(-x)$

L'hamiltonien commute avec l'opérateur parité : $\hat{P}\psi(x) = \psi(-x)$

base de fonctions de Bloch : $\psi_{n,q}(x) = e^{ixq} u_{n,q}(x)$

$$\hat{H} (\hat{P}|\psi\rangle) = \hat{P} (\hat{H}|\psi\rangle) \quad \rightarrow \quad \hat{H} [e^{-ixq} u_{n,q}(-x)] = E_n(q) [e^{-ixq} u_{n,q}(-x)]$$

La fonction $e^{-ixq} u_{n,q}(-x)$ vérifie donc toutes les propriétés d'une fonction de Bloch associée au quasi-moment $-q$.

Si on a su résoudre le problème aux valeurs propres pour q , on connaît aussi les solutions pour $-q$ en prenant

$$\psi_{n,-q}(x) \propto \psi_{n,q}(-x) \quad E_n(-q) = E_n(q)$$

Le rôle des symétries : invariance par renversement du temps

Physiquement : a-t-on le mouvement « inversé » quand on fait le changement

$$\vec{r} \rightarrow \vec{r} \quad \vec{p} \rightarrow -\vec{p}$$

pas de force de type « Lorentz » en $\vec{v} \times \vec{B}$

Mathématiquement : l'hamiltonien commute avec l'opérateur (anti-unitaire) \hat{K}_0

$$\hat{K}_0 \psi(\vec{r}) = \psi^*(\vec{r}) \quad \text{pour une particule sans spin}$$

Invariance par renversement du temps (2)

Hamiltonien périodique invariant par renversement du temps \hat{H} : $[\hat{H}, \hat{K}_0] = 0$

base de fonctions de Bloch : $\psi_{n,q}(x) = e^{ixq} u_{n,q}(x)$

$$\hat{H} (\hat{K}_0|\psi\rangle) = \hat{K}_0 (\hat{H}|\psi\rangle) \Rightarrow \hat{H} [e^{-ixq} u_{n,q}^*(x)] = E_n(q) [e^{-ixq} u_{n,q}^*(x)]$$

La fonction $e^{-ixq} u_{n,q}^*(x)$ vérifie donc toutes les propriétés d'une fonction de Bloch associée au quasi-moment $-q$.

Si on a su résoudre le problème aux valeurs propres pour q , on connaît aussi les solutions pour $-q$ en prenant

$$\psi_{n,-q}(x) \propto \psi_{n,q}^*(x) \quad E_n(-q) = E_n(q)$$

3.

Les bandes d'énergie pour le potentiel sinusoïdal

un problème « académique » pour la physique des solides,
le pain quotidien en physique des atomes froids...

L'équation centrale & le cas d'un réseau faible

L'équation « centrale »

On injecte la forme de Bloch $\psi_q(x) = \sum_{j=-\infty}^{+\infty} C_j(q) e^{i(2jk+q)x}$ dans l'équation aux valeurs propres :

$$-\frac{\hbar^2}{2m} \frac{d^2 \psi_q}{dx^2} + \underbrace{V_0 \sin^2(kx)}_{\frac{V_0}{4} (2 - e^{2ikx} - e^{-2ikx})} \psi_q = E(q) \psi_q$$

On obtient un système (infini) pour les coefficients $C_j(q)$:

$$\frac{\hbar^2}{2m} (2jk + q)^2 C_j(q) + \frac{V_0}{2} C_j(q) - \frac{V_0}{4} (C_{j+1}(q) + C_{j-1}(q)) = E(q) C_j(q)$$

L'énergie de recul $E_r = \hbar^2 k^2 / (2m)$ fournit l'échelle naturelle d'énergie :

$$\left[\left(2j + \frac{q}{k} \right)^2 + \frac{V_0}{2E_r} \right] C_j - \frac{V_0}{4E_r} (C_{j-1} + C_{j+1}) = \frac{E}{E_r} C_j$$

Résolution de l'équation « centrale »

Pour q fixé dans la zone de Brillouin : $-k < q \leq k$

$$\left[\left(2j + \frac{q}{k} \right)^2 + \frac{V_0}{2E_r} \right] C_j - \frac{V_0}{4E_r} (C_{j-1} + C_{j+1}) = \frac{E}{E_r} C_j$$

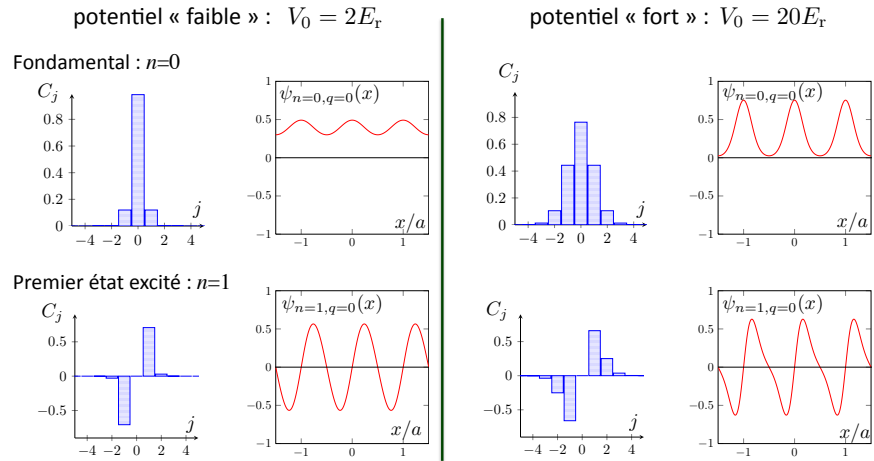
Problème aux valeurs propres pour une matrice tridiagonale infinie

Pour chaque valeur de q , infinité de solutions
correspondant aux énergies $E_0(q), E_1(q), E_2(q), \dots$

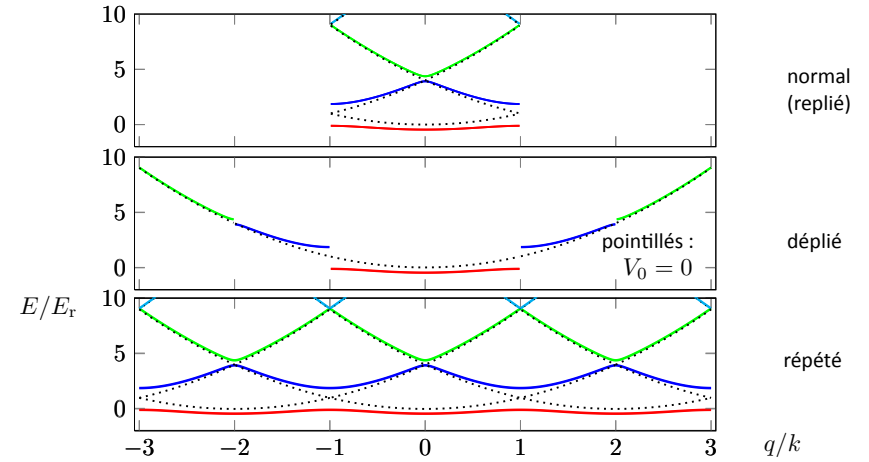
On tronque la matrice au domaine $|j| \leq j_{\max}$ avec $j_{\max} = 20$

bonne précision pour les valeurs propres les plus basses pour $V_0/E_r \leq 50$

Exemples de solutions pour $q=0$



Bandes d'énergie pour le potentiel sinusoïdal $V_0 = 4E_r$



Le cas du potentiel nul

Le potentiel $V(x) = 0$ est périodique de période $a = \pi/k$

Les états propres de l'hamiltonien sont les ondes planes $\phi_p(x) = e^{ipx/\hbar}$

qui s'écrivent $\phi_p(x) = e^{iqx} e^{2ijkx}$ avec $\frac{p}{\hbar} = 2jk + q$,

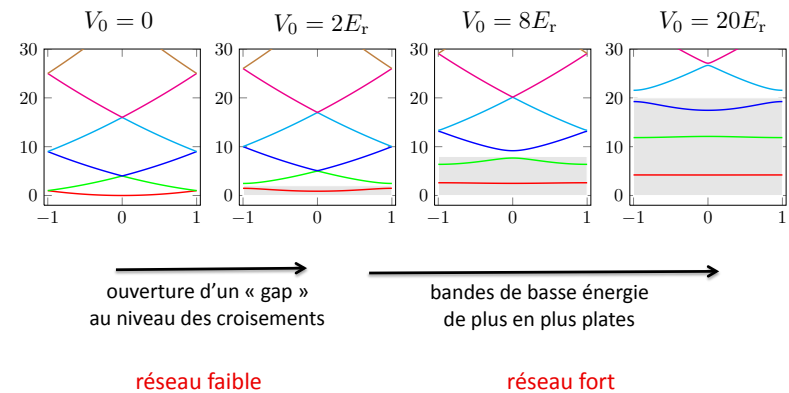
j : entier le plus proche de $p/(2\hbar k)$

$$E(p) = \frac{p^2}{2m} \begin{cases} E_0(q) = \frac{\hbar^2 q^2}{2m} & \text{bande fondamentale} \\ E_1(q) = \frac{\hbar^2}{2m} (q \pm 2k)^2 & \text{première bande excitée} \\ \dots \end{cases}$$

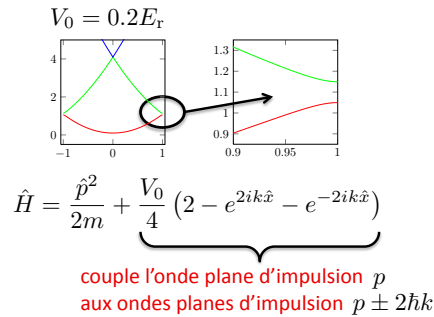
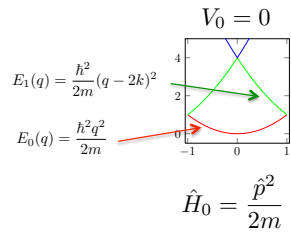
$E_n(q)$

q/k

Evolution de la structure de bande avec V_0



Le cas du réseau faible

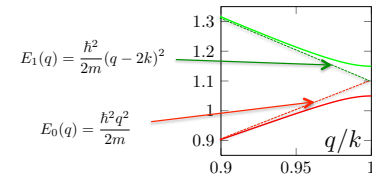


Ce couplage peut avoir une conséquence significative si les deux états couplés ont une énergie voisine vis-à-vis de \hat{H}_0 :

$$\frac{p^2}{2m} \approx \frac{(p \pm 2\hbar k)^2}{2m} \Rightarrow p \approx \mp \hbar k. \quad \text{bord de zone de Brillouin}$$

Le cas du réseau faible (2)

Plaçons-nous exactement au point de croisement pour $V_0 = 0$: $q = k$



Deux états « onde plane » $\begin{cases} e^{iqx} = e^{ikx} \\ e^{i(q-2k)x} = e^{-ikx} \end{cases}$
 couplés par $\frac{V_0}{4} (2 - e^{2ik\hat{x}} - e^{-2ik\hat{x}})$

A l'ordre 1 de la théorie des perturbations, les états propres sont obtenus par diagonalisation de la matrice 2 x 2 :

$$\hat{H} = \begin{pmatrix} E_r + V_0/2 & -V_0/4 \\ -V_0/4 & E_r + V_0/2 \end{pmatrix} \quad \begin{cases} E_1(k) = E_r + \frac{3V_0}{4} & \psi_{1,k} \propto \sin(kx) \\ E_0(k) = E_r + \frac{V_0}{4} & \psi_{0,k} \propto \cos(kx) \end{cases}$$

Diffraction de Bragg

4.

Branchement et débranchement d'un réseau

Approximation adiabatique, diffraction de Bragg & « band mapping »

Le théorème de Bloch dans un cas dépendant du temps

Potentiel spatialement périodique $V(x)$ dont l'amplitude $f(t) \equiv f_t$ dépend du temps :

$$\hat{H}(t) = \frac{\hat{p}^2}{2m} + f_t V(\hat{x})$$

On suppose qu'à $t = 0$, l'état de la particule a la forme d'une fonction de Bloch :

$$\phi(x, t = 0) = e^{iqx} u(x, t = 0) \quad u(x, t = 0) : \text{périodique de période } a$$

Alors, cette forme est préservée durant l'évolution avec le même quasi-moment q

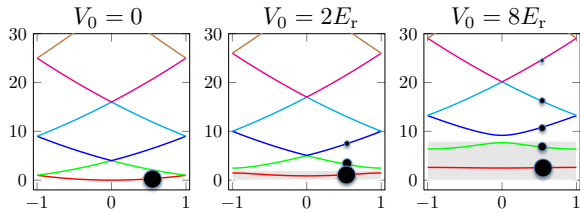
$$\phi(x, t) = e^{iqx} u(x, t) \quad u(x, t) : \text{périodique de période } a$$

$$\text{Démonstration : } [\hat{H}(t), \hat{T}_a] = 0 \Rightarrow [\hat{U}(0 \rightarrow t), \hat{T}_a] = 0 \quad \hat{U} : \text{opérateur d'évolution}$$

Physiquement clair : les échanges d'impulsion entre atome et lumière se font par processus « absorption-émission stimulée » qui transfèrent $\pm 2\hbar k$: ne changent pas le quasi-moment q

Adiabaticité du branchement (ou du débranchement)

Partons d'un atome d'impulsion donnée, par exemple $p = \hbar k/2$ en absence de lumière



?

Evolution de la partie périodique de la fonction de Bloch $\phi(x, t) = e^{iqx} u(x, t)$

$$i\hbar \frac{\partial |u(t)\rangle}{\partial t} = \hat{H}_{\text{per.}}[q, f_t] |u(t)\rangle \quad \text{avec} \quad \hat{H}_{\text{per.}}[q, f] = \frac{(\hat{p} + \hbar q)^2}{2m} + fV(\hat{x})$$

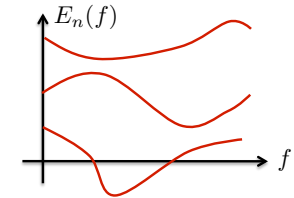
A quelle condition la fonction $u(x, t)$ reste-t-elle voisine de $u_0^{[f_t]}(x)$?

L'approximation adiabatique

Hamiltonien dépendant d'un paramètre f :

Etats propres $|\phi_n(f)\rangle$

Energies $E_n(f)$



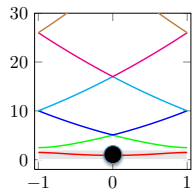
On suppose que f dépend du temps.

A l'instant initial, le système est dans un état propre particulier $|\phi_n[f(0)]\rangle$

Le système va suivre cet état propre si on a à chaque instant :

$$\hbar \left| \langle \phi_{n'} | \frac{d}{dt} | \phi_n \rangle \right| \ll |E_{n'} - E_n|, \quad \forall n' \neq n,$$

L'approximation adiabatique pour le branchement du réseau



$$\hat{H} = \frac{\hat{p}^2}{2m} + \frac{fV_0}{4} (2 - e^{2ik\hat{x}} - e^{-2ik\hat{x}})$$

Cas d'un réseau faible $V_0 \lesssim E_r$

Atome préparé dans la bande fondamentale, impulsion nulle

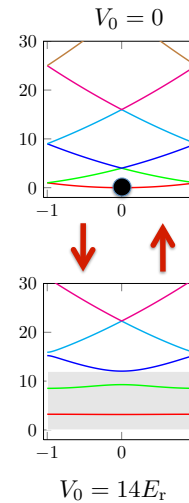
Etat propre qu'on souhaite suivre adiabatiquement (1^{er} ordre des perturbations) :

$$|\psi_{n=0, q=0}\rangle \approx |p=0\rangle + \frac{fV_0/4}{4E_r} (|p=2\hbar k\rangle + |p=-2\hbar k\rangle)$$

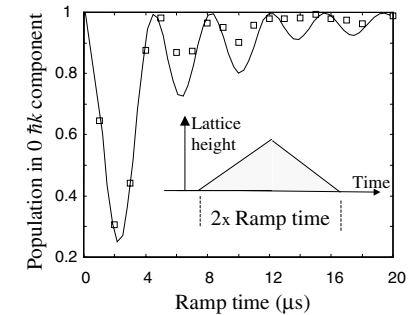
Le critère général s'écrit dans ce cas : $\dot{f} \ll 32\sqrt{2} \frac{E_r^2}{\hbar V_0}$

Si on passe de $V_0 = 0$ à $V_0 = E_r$ linéairement en un temps τ : $\tau \gg \frac{1}{32\sqrt{2}} \frac{\hbar}{E_r}$

Vérification expérimentale (NIST)



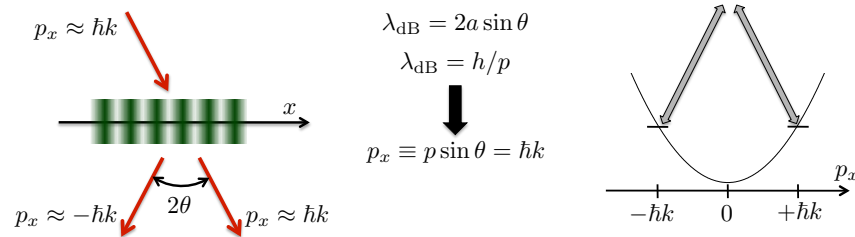
Atomes de sodium : $\hbar/E_r \approx 6 \mu\text{s}$
Denschlag *et al.*, 2002



Remarque : problème en bord de bandes !

La diffraction de Bragg

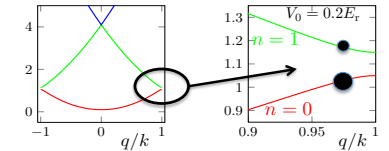
Tire parti de la périodicité du réseau pour diffracter l'onde dans une direction donnée



Comment retrouver ce résultat dans le formalisme de la théorie des bandes ?

Champenois *et al.*, 2001

La diffraction de Bragg (2)



On se place au voisinage du bord de la zone de Brillouin et on branche soudainement le réseau

$$|\Psi(t=0)\rangle = |p\rangle = \cos(\theta/2) |\psi_{n=0,q}\rangle - \sin(\theta/2) |\psi_{n=1,q}\rangle$$

Evolution de type « oscillation de Rabi »:

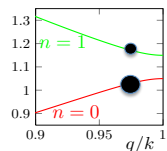
$$|\Psi(t)\rangle = \cos(\theta/2) e^{-iE_{0,q}t/\hbar} |\psi_{n=0,q}\rangle - \sin(\theta/2) e^{-iE_{1,q}t/\hbar} |\psi_{n=1,q}\rangle$$

A la fin de l'évolution, on éteint soudainement le réseau et on projette l'état obtenu à cet instant sur la base des ondes planes :

$$\mathcal{P}_{p \rightarrow p-2\hbar k}(t) = \sin^2 \theta \sin^2(\Omega t/2) \quad \hbar\Omega = E_{1,q} - E_{0,q} \approx V_0/2$$

Oscillation « Pendellösung »

Sélectivité en vitesse de la diffraction de Bragg



$$|\Psi(t=0)\rangle = |p\rangle = \cos(\theta/2) |\psi_{n=0,q}\rangle - \sin(\theta/2) |\psi_{n=1,q}\rangle$$

$$\mathcal{P}_{p \rightarrow p-2\hbar k}(t) = \sin^2 \theta \sin^2(\Omega t/2)$$

angle de mélange :

$$\cos \frac{\theta}{2} = \langle p | \psi_{n=0,q} \rangle$$

Pour un réseau faible, les états propres $|\psi_{n=0/1,q}\rangle$ sont obtenus par diagonalisation de la matrice 2x2 :

$$\hat{H} = \begin{pmatrix} \frac{p^2}{2m} + V_0/2 & -V_0/4 \\ -V_0/4 & \frac{(p-2\hbar k)^2}{2m} + V_0/2 \end{pmatrix}$$

écrite dans la base $|p\rangle, |p-2\hbar k\rangle$

dont on déduit : $\sin^2 \theta = \frac{(V_0/8E_r)^2}{[p/(\hbar k) - 1]^2 + (V_0/8E_r)^2}$

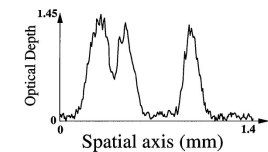
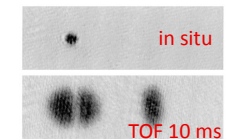
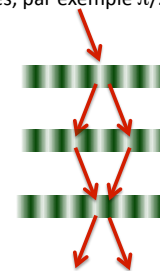
d'autant plus sélectif en vitesse que V_0 est faible

Observation et utilisation de la diffraction de Bragg

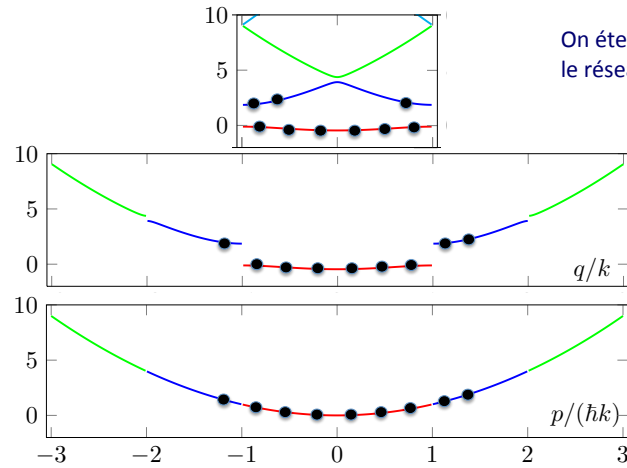
Observée d'abord avec des jets atomiques traversant des ondes lumineuses stationnaires (groupe de Pritchard, MIT 1988)

Expérience faite au NIST avec des condensats : Kozuma *et al.*, 1999

à la base de schémas interférométriques variés, par exemple $\pi/2 - \pi - \pi/2$



Comment mesurer la population des différentes bandes ?



On éteint adiabatiquement le réseau. Qu'obtient-on ?

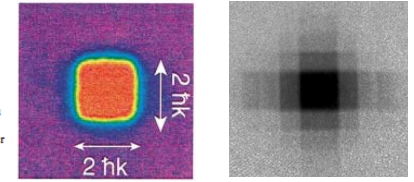
Chaque bande est projetée sur deux segments de longueur $\hbar k$ dans l'espace des impulsions

« Band mapping »

Mesure de la population des différentes bandes

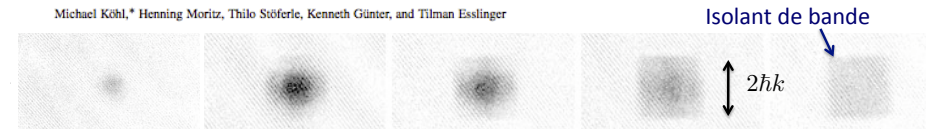
Greiner *et al.*, 2001 : bosons (^{87}Rb) dans un réseau carré à 2D

Exploring Phase Coherence in a 2D Lattice of Bose-Einstein Condensates
Markus Greiner, Immanuel Bloch, Olaf Mandel, Theodor W. Hänsch,* and Tilman Esslinger



Köhl *et al.*, 2005 : fermions (^{40}K) dans un réseau cubique 3D

Fermionic Atoms in a Three Dimensional Optical Lattice: Observing Fermi Surfaces, Dynamics, and Interactions
Michael Köhl,* Henning Moritz, Thilo Stöferle, Kenneth Günter, and Tilman Esslinger



5.

Propagation de paquets d'ondes

vitesse de groupe & masse effective

La vitesse de groupe

Rappel : pour une onde de relation de dispersion $\omega(k)$, un paquet d'ondes piqué autour d'une valeur \bar{k} se propage à la vitesse de groupe :

$$v_g = \left. \frac{d\omega}{dk} \right|_{k=\bar{k}}$$

Cette relation s'étend presque à l'identique à un réseau.

Etat initial :
$$\psi(x, 0) = \int c(q) \psi_{n,q}(x) dq$$

Paquet d'ondes

- composé de fonctions de Bloch d'une seule bande d'énergie n
- centré en q_0 avec une dispersion $\Delta q \ll k$

La vitesse de groupe (2)

$$\psi(x, 0) = \int c(q) \psi_{n,q}(x) dq \quad \text{évolue en} \quad \psi(x, t) = \int c(q) \psi_{n,q}(x) e^{-iE_n(q)t/\hbar} dq$$

Développement de l'énergie au voisinage de q_0 : $E_n(q) = E_n(q_0) + (q - q_0) \left. \frac{dE_n}{dq} \right|_{q=q_0}$

On définit : $v_{g,n}(q_0) = \left. \frac{1}{\hbar} \frac{dE_n}{dq} \right|_{q=q_0}$

et on obtient : $\psi(x, t) \approx e^{-i\omega_0 t} \int c(q) \psi_{n,q}(x) e^{-iqv_{g,n}t} dq$

Choisissons une durée t telle que $v_{g,n}t = a$ (une période spatiale du réseau)

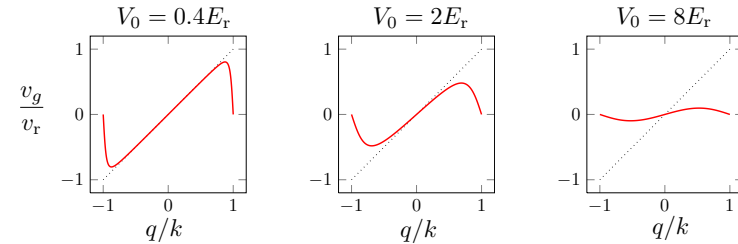
Par définition d'une fonction de Bloch : $e^{-iqa} \psi_{n,q}(x) = \psi_{n,q}(x - a)$

$$\rightarrow \psi(x, t) \approx e^{-i\omega_0 t} \psi(x - a, 0)$$

Exemples de vitesse de groupe

$$v_{g,n}(q_0) = \left. \frac{1}{\hbar} \frac{dE_n}{dq} \right|_{q=q_0}$$

On considère la bande fondamentale du réseau sinusoïdal



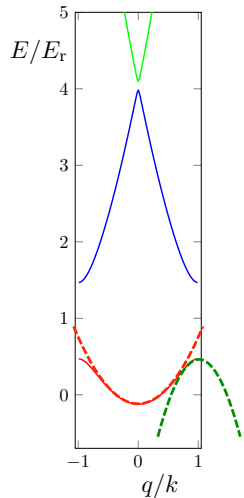
Unité naturelle pour une vitesse dans un réseau optique : la vitesse de recul

$$v_r = \frac{\hbar k}{m}$$

6 cm/s pour Na, 6mm/s pour Rb

Particule libre : $E_0(q) = \hbar^2 q^2 / (2m)$ $\rightarrow v_g = \hbar q / m$

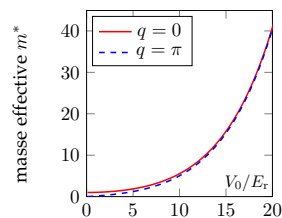
La masse effective



Approximation parabolique au voisinage du fond d'une bande ou de son sommet :

$$E(q) = \frac{\hbar^2 q^2}{2m^*} + \text{constante} \quad \frac{1}{m^*} = \frac{1}{\hbar^2} \frac{d^2 E_n}{dq^2}$$

Pour la bande fondamentale :



Notion pas aussi centrale qu'en physique des solides